

**Sistemi Dinamici**  
**Corso di Laurea in Matematica**  
**Compito del 12-04-2022**

**Esercizio 1. (10 punti)** Si consideri il sistema

$$\begin{cases} \dot{x} = x(y^2 - 1) \\ \dot{y} = -x^2 y + y^3(y^2 - 1) \end{cases}$$

- (a) Determinare i punti fissi. Trovare una funzione di Lyapunov stretta per il punto fisso  $(0, 0)$ , e dire se gli altri punti fissi sono stabili o instabili.
- (b) Studiare il segno del campo di vettori, ed usarlo per disegnare il ritratto di fase del sistema.

**Esercizio 2. (10 punti)** Disegnare il ritratto di fase del sistema

$$\begin{cases} \dot{x} = (x - y)^3 - (\mu + 1)(x - y) + y \\ \dot{y} = y - \mu(x - y) \end{cases}$$

al variare di  $\mu \in \mathbb{R}$ .

**Esercizio 3. (10 punti)** Si consideri la trasformazione  $f_\lambda : [0, 1] \rightarrow [0, 1]$

$$f_\lambda(x) = \begin{cases} 2x, & x \in [0, \frac{1}{2}) \\ -\lambda(x - \frac{1}{2}) + 1, & x \in [\frac{1}{2}, 1] \end{cases}$$

per  $\lambda \in (0, 2]$ .

- (a) Discutere i punti fissi del sistema al variare del parametro  $\lambda$ , e studiarne la stabilità.
- (b) Studiare l'esistenza e la stabilità di orbite periodiche di periodo minimo 2 al variare di  $\lambda$ .
- (c) Dimostrare che il sistema è caotico per  $\lambda > \frac{3}{2}$ .

ES. 1

$$\begin{cases} \dot{x} = x(y^2 - 1) \\ \dot{y} = -x^2 y + y^3(y^2 - 1) \end{cases}$$

(a) I punti fissi del sistema sono le soluzioni di

$$\begin{cases} x(y^2 - 1) = 0 \\ -x y^2 + y^3(y^2 - 1) = 0 \end{cases}$$

Dalla prima equazione si ricava  $x=0$  oppure  $y=\pm 1$ .

Sostituendo  $x=0$  nella seconda si trovano i punti fissi

$$P_1 = (0,0), \quad P_2 = (0, +1), \quad P_3 = (0, -1)$$

Sostituendo  $y=\pm 1$  nella seconda equazione non si trovano altri punti fissi.

Cerchiamo ora una funzione di Lyapunov stretta per  $P_1 = (0,0)$ .

Poniamo  $V(x,y) = A x^{2m} + B y^{2m}$ , con  $A, B > 0$  e  $m, m \in \mathbb{N}$ .

In questo modo la funzione  $V$  ha in  $P_1$  un punto di minimo stretto.

Si ottiene

$$\begin{aligned} \dot{V}(x,y) &= 2m A x^{2m-1} (x(y^2-1)) + 2m B y^{2m-1} (-x^2 y + y^5 - y^3) = \\ &= \underline{2m A x^{2m} y^2} - 2m A x^{2m} - \underline{2m B x^2 y^{2m}} + 2m B y^{2m+2} (y^2-1) \end{aligned}$$

Cercando di eliminare i termini misti (evidenziati in rosso), si

ponga  $2m A = 2m B$ ,  $2m = 2$ ,  $2 = 2m$ , da cui  $m = m = 1$ ,  $A = B$ .

Quindi per  $V(x,y) = x^2 + y^2$  si trova

$$\dot{V}(x,y) = -2x^2 + 2y^4(y^2-1) = -2x^2 - 2y^4(1-y^2) =$$

$$= -2 [x^2 + y^4(1-y^2)] < 0 \quad \forall (x,y) \in \{ |y| < 1 \} \setminus \{(0,0)\}$$

La funzione  $V(x,y)$  è quindi una buona funzione di Lyapunov stretta per  $P_1 = (0,0)$  in  $U(0,0) = \{(x,y) \in \mathbb{R}^2 / |y| < 1\}$ .

Consideriamo adesso  $P_2$  e  $P_3$ . Studiando la matrice jacobiana del campo si ha

$$JF(x,y) = \begin{pmatrix} y^2 - 1 & 2xy \\ -2xy & -x^2 + 5y^4 - 3y^2 \end{pmatrix}$$

e quindi

$$JF(0, \pm 1) = JF(0, -1) = \begin{pmatrix} 0 & 0 \\ 0 & 2 \end{pmatrix}$$

I punti  $P_2$  e  $P_3$  sono dunque non iperbolici (infatti  $JF(0, \pm 1)$  ha autovalori 0 e 2), ma la presenza di un autovalore con parte reale positiva ci fa aspettare che siano instabili nella direzione dell'autovettore corrispondente ( $v = \begin{pmatrix} 0 \\ 1 \end{pmatrix}$  in questo caso).

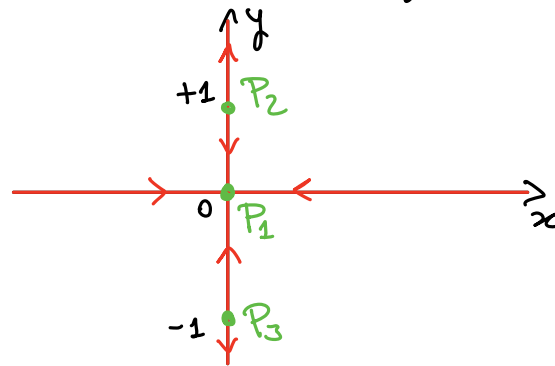
Studiando il sistema evidenziamo che gli asintoti sono invarianti. Infatti

$$\dot{x} \Big|_{x=0} = x(y^2 - 1) \Big|_{x=0} = 0$$

e

$$\dot{y} \Big|_{y=0} = -x^2 y + y^3(y^2 - 1) \Big|_{y=0} = 0$$

Possiamo quindi iniziare a disegnare il ritratto di fase



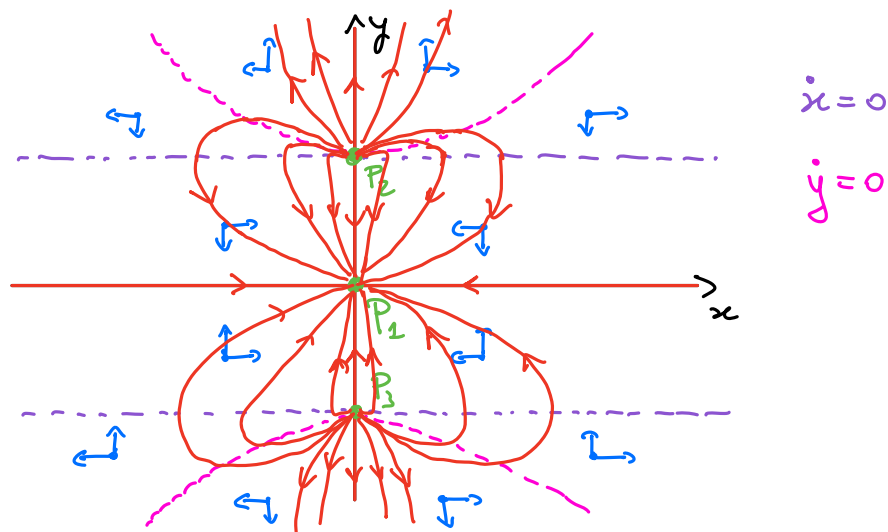
Ne segue che  $P_2$  e  $P_3$  sono instabili.

(b) Studiamo il segno del campo di vettori

$$\dot{x} > 0 \iff x > 0 \text{ e } y^2 > 1 \text{ oppure } x < 0 \text{ e } y^2 < 1$$

$$\dot{y} = y(-x^2 + y^2(y^2 - 1)) > 0 \iff \begin{aligned} &y > 0 \text{ e } |x| < \sqrt{y^2(y^2 - 1)} \text{ oppure} \\ &y < 0 \text{ e } |x| > \sqrt{y^2(y^2 - 1)} \end{aligned}$$

Possiamo quindi disegnare il ritratto di fase del sistema. Si può verificare che il sistema è simmetrico per la riflessione rispetto ai due assi. Inoltre non ci sono orbite periodiche (potrebbero esistere solo intorno ai punti fissi, ma l'invarianza degli assi ne impedisce l'esistenza.)



ES. 2

$$\begin{cases} \dot{x} = (x-y)^3 - (\mu+1)(x-y) + y \\ \dot{y} = y - \mu(x-y) \end{cases}$$

- Punti fissi. Si ottengono come soluzioni del sistema

$$\begin{cases} (x-y)^3 - (\mu+1)(x-y) + y = 0 \\ y - \mu(x-y) = 0 \end{cases}$$

$$\Leftrightarrow \begin{cases} (x-y)^3 - (x-y) = 0 \\ y - \mu(x-y) = 0 \end{cases} \Leftrightarrow \begin{cases} (x-y) [(x-y)^2 - 1] = 0 \\ y - \mu(x-y) = 0 \end{cases}$$

Dalla prima equazione si ottiene  $x-y=0$  oppure  $(x-y)^2=1$ .

Se  $x-y=0$ , dalla seconda si trova  $y=0$ , e quindi si ottiene la prima soluzione

$$P_1 = (0, 0)$$

Se  $(x-y)=+1$ , dalla seconda si trova  $y=\mu$ , e quindi si ottiene

$$P_2 = (\mu+1, \mu)$$

Se  $(x-y)=-1$ , si ottiene infine

$$P_3 = (-\mu-1, -\mu)$$

- Stabilità La matrice jacobiana del campo è

$$JF(x, y) = \begin{pmatrix} 3(x-y)^2 - (\mu+1) & -3(x-y)^2 + (\mu+1) + 1 \\ -\mu & 1+\mu \end{pmatrix}$$

Quindi

$$JF(P_1) = JF(0,0) = \begin{pmatrix} -\mu-1 & \mu+2 \\ -\mu & \mu+1 \end{pmatrix}$$

$\det JF(P_1) = -(\mu+1)^2 + \mu(\mu+2) = -\mu^2 - 2\mu - 1 + \mu^2 + 2\mu = -1$   
 e dunque  $P_1$  è punto di sella  $\forall \mu \in \mathbb{R}$ .

$$JF(P_2) = JF(\mu+1, \mu) = \begin{pmatrix} 2-\mu & \mu-1 \\ -\mu & \mu+1 \end{pmatrix}$$

$$\det JF(P_2) = (2-\mu)(\mu+1) + \mu(\mu-1) = \mu+2 - \mu^2 + \mu^2 - \mu = 2 > 0$$

$$\text{tr } JF(P_2) = 3 > 0$$

$$(\text{tr } JF(P_2))^2 - 4 \det JF(P_2) = 9 - 8 = 1 > 0$$

e dunque  $P_2$  è un nodo instabile  $\forall \mu \in \mathbb{R}$ .

$$JF(P_3) = JF(-\mu-1, -\mu) = \begin{pmatrix} 2-\mu & \mu-1 \\ -\mu & \mu+1 \end{pmatrix} = JF(P_2)$$

e dunque anche  $P_3$  è un nodo instabile  $\forall \mu \in \mathbb{R}$ .

- Rette invarianti. Ponendo  $I(x,y) = ax + by - c$ , con  $a, b, c \in \mathbb{R}$

consideriamo

$$\begin{aligned} \dot{I} \Big|_{I=0} &= a\dot{x} + b\dot{y} \Big|_{I=0} = a[(x-y)^3 - (\mu+1)(x-y) + y] + b[y - \mu(x-y)] \Big|_{I=0} \\ &= (x-y)[a(x-y)^2 - a(\mu+1) - b\mu] + (a+b)y \Big|_{I=0} \end{aligned}$$

Se  $a = -b = 1$  si trova

$$\dot{I} \Big|_{I=0} = (x-y)[a(x-y)^2 - a(\mu+1) - b\mu] \Big|_{I=0} = a(x-y)[(x-y)^2 - 1] \Big|_{x-y=c} \equiv 0$$

per ogni  $\mu \in \mathbb{R}$  se  $c \in \{-1, 0, +1\}$ .

Se  $a=c=0$  e  $b=1$  si trova

$$\dot{I}|_{I=0} = -b\mu(x-y) + by|_{y=0} = -b\mu x \equiv 0 \quad \text{se } \mu=0.$$

Ci sono quindi tre rette invarianti:  $\forall \mu \in \mathbb{R}$ :  $y=x$ ,  $y=x+1$ ,  $y=x-1$   
 e una retta invariante in più se  $\mu=0$ :  $y=0$

• Orbite periodiche. Calcoliamo la divergenza del campo di vettori.

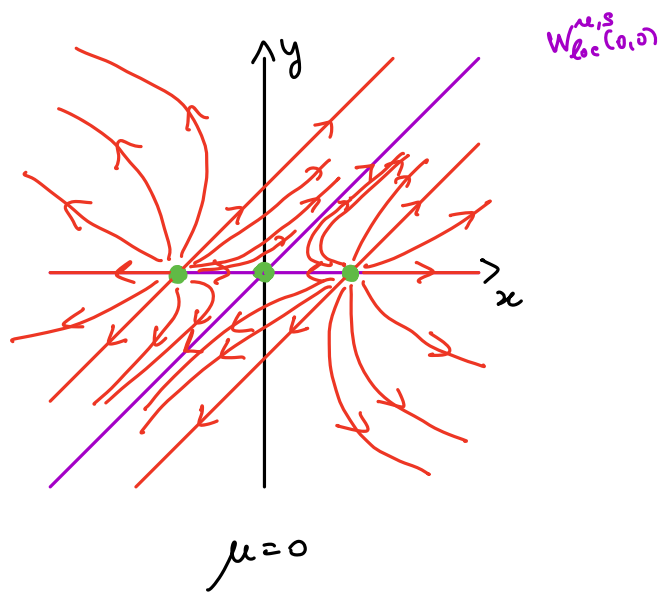
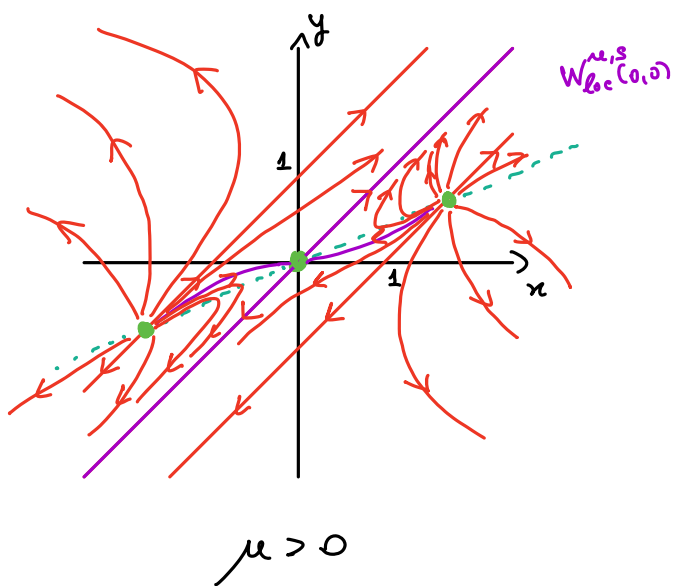
Si ha

$$\begin{aligned} \operatorname{div} F &= \frac{\partial}{\partial x} [(x-y)^3 - (\mu+1)(x-y) + y] + \frac{\partial}{\partial y} [y - \mu(x-y)] = \\ &= 3(x-y)^2 - (\mu+1) + 1 + \mu = 3(x-y)^2. \end{aligned}$$

Dunque  $\operatorname{div} F > 0 \quad \forall (x,y) \in \{x-y > 0\} \cup \{x-y < 0\}$ . Per il criterio di Bendixson-Dulac non ci sono orbite periodiche contenute in  $\{x-y > 0\}$  o in  $\{x-y < 0\}$ . Poiché  $\{x=y\}$  è invariante  $\forall \mu$ , non ci sono orbite periodiche in  $\mathbb{R}^2$ .

• Ritratto di fase.

$$\dot{y} > 0 \iff (\mu+1)y > \mu x$$

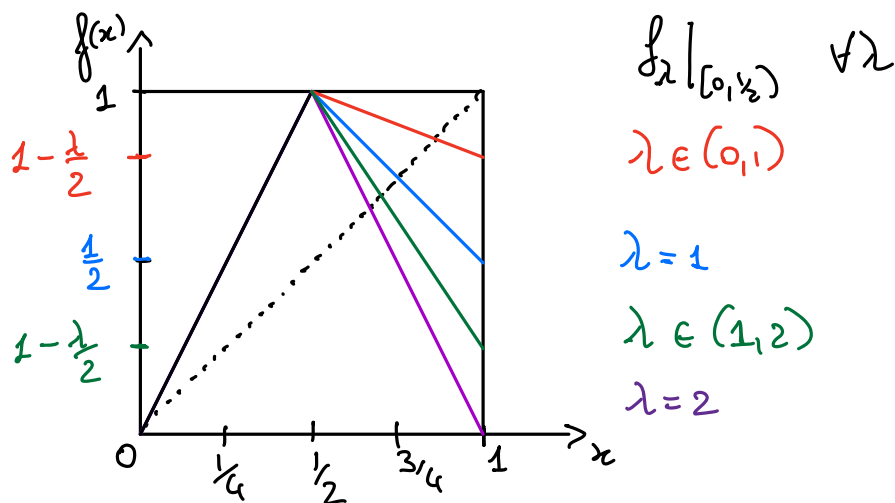


Il caso  $\mu < 0$  è simile, con i punti fissi che si spostano.

ES. 3

$$f_{\lambda}(x) = \begin{cases} 2x & , x \in [0, \frac{1}{2}) \\ -\lambda(x - \frac{1}{2}) + 1 & , x \in [\frac{1}{2}, 1] \end{cases} , \lambda \in (0, 2]$$

Il grafico della funzione  $f(x)$  è



Ci sono quindi due comportamenti diversi se  $\lambda \in (0, 1]$  o se  $\lambda \in (1, 2]$ . Questo è dovuto al fatto che  $f_{\lambda}([\frac{1}{2}, 1]) \cap [0, \frac{1}{2}) \neq \emptyset \Leftrightarrow 1 - \frac{\lambda}{2} < \frac{1}{2} \Leftrightarrow \lambda > 1$ .

(a) I punti fissi si trovano ponendo  $f_{\lambda}(x) = x$ , da cui si trova che una soluzione è  $P_1 = 0 \forall \lambda \in (0, 2]$ , e l'altra soluzione si ottiene da

$$-\lambda(x - \frac{1}{2}) + 1 = x \Leftrightarrow (1 + \lambda)x = 1 + \frac{\lambda}{2}$$

$$\Leftrightarrow x = \frac{2 + \lambda}{2(1 + \lambda)} \in (\frac{1}{2}, 1] \quad \forall \lambda \in (0, 2]$$

Dunque l'altro punto fisso è  $P_2 = \frac{2 + \lambda}{2(1 + \lambda)}$

Per la loro stabilità, osserviamo che  $f'_{\lambda}(P_2) = 2 \forall \lambda \in (0, 2]$



e dunque  $P_1$  è sempre repulsivo.

In  $P_2$  si ha  $f'_\lambda(P_2) = -\lambda$ , dunque

$P_2$  è attrattivo se  $|- \lambda| < 1$ , quindi se  $\lambda \in (0, 1)$

" è repulsivo se  $|- \lambda| > 1$ , " "  $\lambda \in (1, 2]$

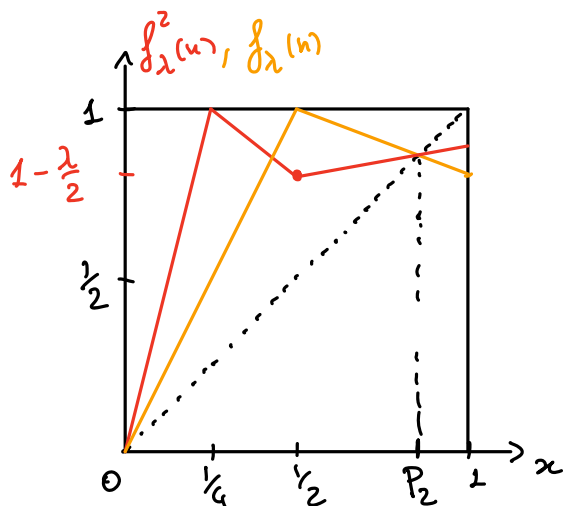
Per  $\lambda = 1$ ,  $f_1|_{[\frac{1}{2}, 1]}$  mantiene invariate le distanze, e

poiché  $f_1([\frac{1}{2}, 1]) = [\frac{1}{2}, 1]$ , il punto è stabile ma non è attrattivo né repulsivo.

(b) Caso  $\lambda \in (0, 1)$

Poiché  $f_\lambda([\frac{1}{2}, 1]) \subset [\frac{1}{2}, 1]$ ,  $f_\lambda^2$  ha tre rami

$$f_\lambda^2(x) = \begin{cases} 2f_\lambda(x) = 4x, & x \in [0, \frac{1}{2}) \text{ e } f_\lambda(x) \in [0, \frac{1}{2}) \\ -\lambda(f_\lambda(x) - \frac{1}{2}) + 1 = -\lambda(2x - \frac{1}{2}) + 1, & x \in [0, \frac{1}{2}) \text{ e } f_\lambda(x) \in [\frac{1}{2}, 1] \\ -\lambda(f_\lambda(x) - \frac{1}{2}) + 1 = -\lambda(-\lambda(x - \frac{1}{2}) + \frac{1}{2}) + 1, & x \in [\frac{1}{2}, 1] \text{ e } f_\lambda(x) \in [\frac{1}{2}, 1] \end{cases}$$

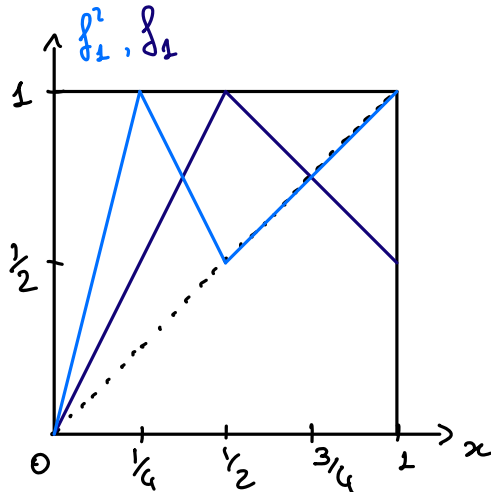


Non ci sono quindi orbite periodiche di periodo minimo 2.

Caso  $\lambda = 1$  Come sopra ci sono tre rami per  $f_\lambda^2$ , ma le

situazione  $\bar{i}$  piú semplice.

$$f_1^2(x) = \begin{cases} 2f_1(x) = 4x, & x \in [0, \frac{1}{2}) \text{ e } f_1(x) \in [0, \frac{1}{2}) \\ -(f_1(x) - \frac{1}{2}) + 1 = -(2x - \frac{1}{2}) + 1, & x \in [0, \frac{1}{2}) \text{ e } f_1(x) \in [\frac{1}{2}, 1] \\ -(f_1(x) - \frac{1}{2}) + 1 = -(-x + \frac{1}{2}) + 1, & x \in [\frac{1}{2}, 1] \text{ e } f_1(x) \in [\frac{1}{2}, 1] \end{cases}$$



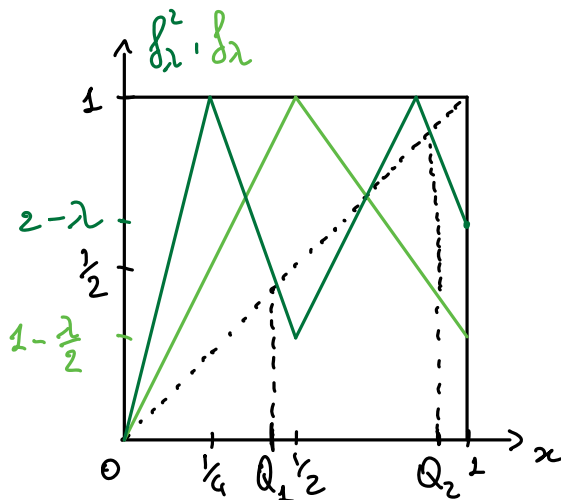
Tutti i punti di  $[\frac{1}{2}, 1] \setminus \{\frac{3}{4}\}$  sono periodici di periodo minimo 2.

Tutte queste orbite sono stabili, ma non sono attrattive né repulsive.

Caso  $\lambda > 1$

Perché  $f_\lambda([1/2, 1]) \cap [0, 1/2] \neq \emptyset$ , ci sono quattro rami per  $f_\lambda^2$ .

$$f_\lambda^2(x) = \begin{cases} 2f_\lambda(x) = 4x, & x \in [0, \frac{1}{2}) \text{ e } f_\lambda(x) \in [0, \frac{1}{2}) \\ -\lambda(f_\lambda(x) - \frac{1}{2}) + 1 = -\lambda(2x - \frac{1}{2}) + 1, & x \in [0, \frac{1}{2}) \text{ e } f_\lambda(x) \in [\frac{1}{2}, 1] \\ -\lambda(f_\lambda(x) - \frac{1}{2}) + 1 = -\lambda(-\lambda(x - \frac{1}{2}) + \frac{1}{2}) + 1, & x \in [\frac{1}{2}, 1] \text{ e } f_\lambda(x) \in [\frac{1}{2}, 1] \\ 2f_\lambda(x) = -2\lambda(x - \frac{1}{2}) + 2, & x \in [\frac{1}{2}, 1] \text{ e } f_\lambda(x) \in [0, \frac{1}{2}) \end{cases}$$



In questo caso sembra esistere un'orbita periodica di periodo minimo 2.

La Troiano impone

$$-2\lambda(x - \frac{1}{2}) + 2 = x \Leftrightarrow (2\lambda + 1)x = 2 + \lambda \Leftrightarrow x = \frac{2 + \lambda}{2\lambda + 1}$$

da cui ricaviamo uno dei punti dell'orbita  $Q_2 = \frac{2 + \lambda}{2\lambda + 1}$ , mentre l'altro punto  $\bar{x}$

$$\begin{aligned} Q_1 &= f_\lambda(Q_2) = -\lambda(Q_2 - \frac{1}{2}) + 1 = -\lambda\left(\frac{2(2 + \lambda) - (2\lambda + 1)}{2(2\lambda + 1)}\right) + 1 = \\ &= -\frac{3}{2} \frac{\lambda}{2\lambda + 1} + 1 = \frac{2 + \lambda}{2(2\lambda + 1)} \end{aligned}$$

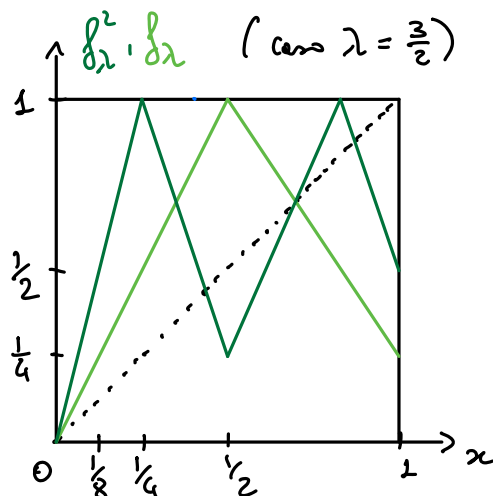
Per  $\lambda > \frac{1}{2}$ , si ha dunque l'orbita periodica  $\{Q_1, Q_2\}$  con  $Q_1 \in [0, \frac{1}{2})$  e  $Q_2 \in [\frac{1}{2}, 1]$ . Quindi:

$$(f_\lambda^2)'(Q_1) = (f_\lambda^2)'(Q_2) = f_\lambda'(Q_1) \cdot f_\lambda'(Q_2) = -2\lambda$$

Poiché  $|2\lambda| > 1$  per  $\lambda > \frac{1}{2}$ , l'orbita  $\bar{x}$  è repulsiva.

(C) Una condizione sufficiente affinché il sistema sia caotico è che  $f_\lambda$ , che è una funzione continua, abbia un'orbita periodica di periodo minimo dispari.

Mostriamo che per  $\lambda > \frac{3}{2}$ ,  $f_\lambda$  ha un'orbita periodica di periodo minimo 3.



Utilizzando il grafico di  $f_\lambda$  e di  $f_\lambda^2$ , osserviamo che

$$f_{\lambda}^3\left(\frac{1}{4}\right) = f_{\lambda}\left(f_{\lambda}^2\left(\frac{1}{4}\right)\right) = f_{\lambda}(1) = 1 - \frac{\lambda}{2} < \frac{1}{4} \quad \text{per } \lambda > \frac{3}{2}$$

$$f_{\lambda}^3\left(\frac{1}{8}\right) = f_{\lambda}^2\left(f_{\lambda}\left(\frac{1}{8}\right)\right) = f_{\lambda}^2\left(\frac{1}{4}\right) = 1 > \frac{1}{8}$$

Dunque il grafico di  $f_{\lambda}^3|_{[\frac{1}{8}, \frac{1}{4}]}$  interseca la bisettrice, e

genera quindi un punto di periodo 3, che è periodo minimo perché non ci sono punti fissi in  $[\frac{1}{8}, \frac{1}{4}]$ .